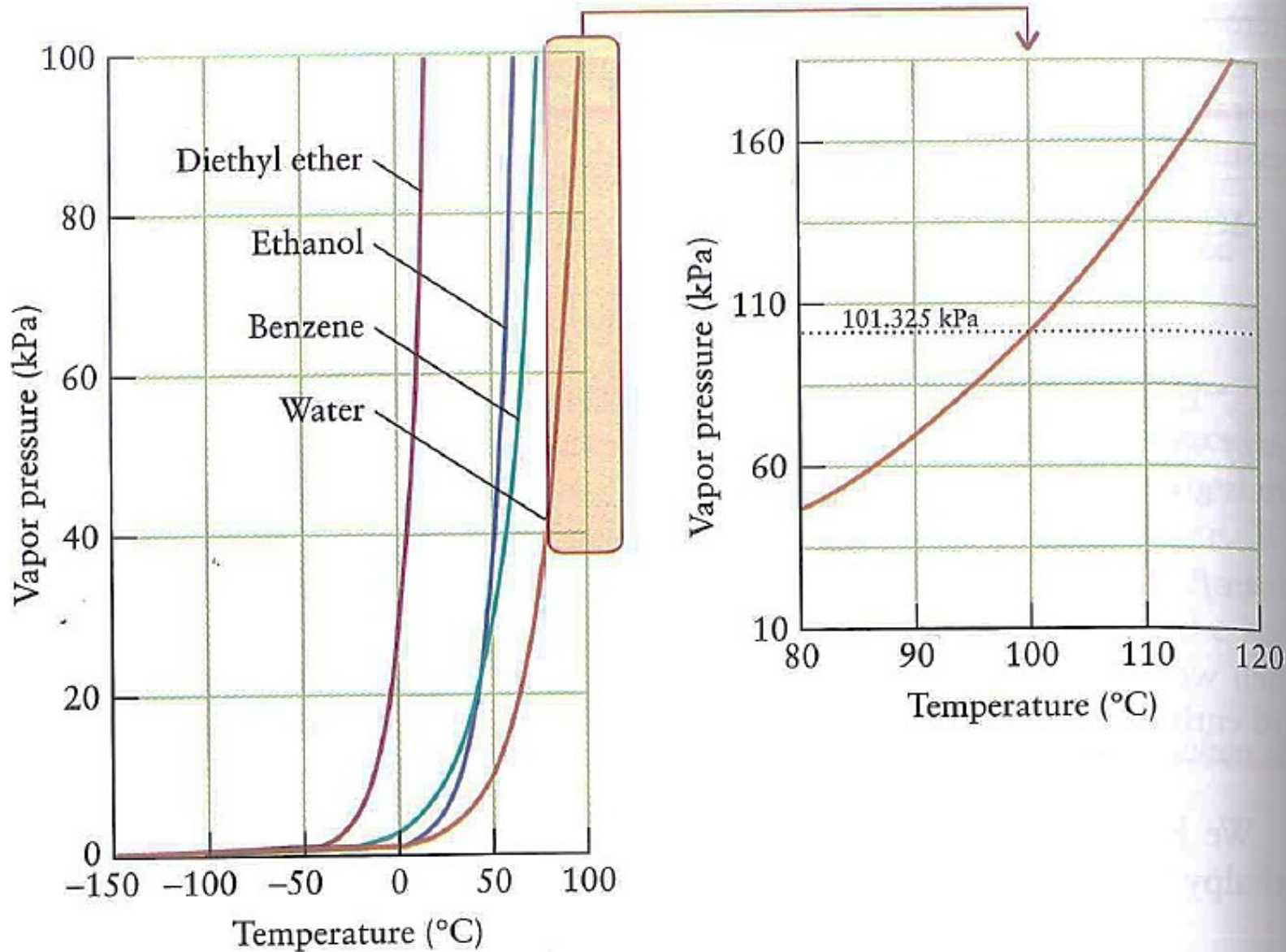


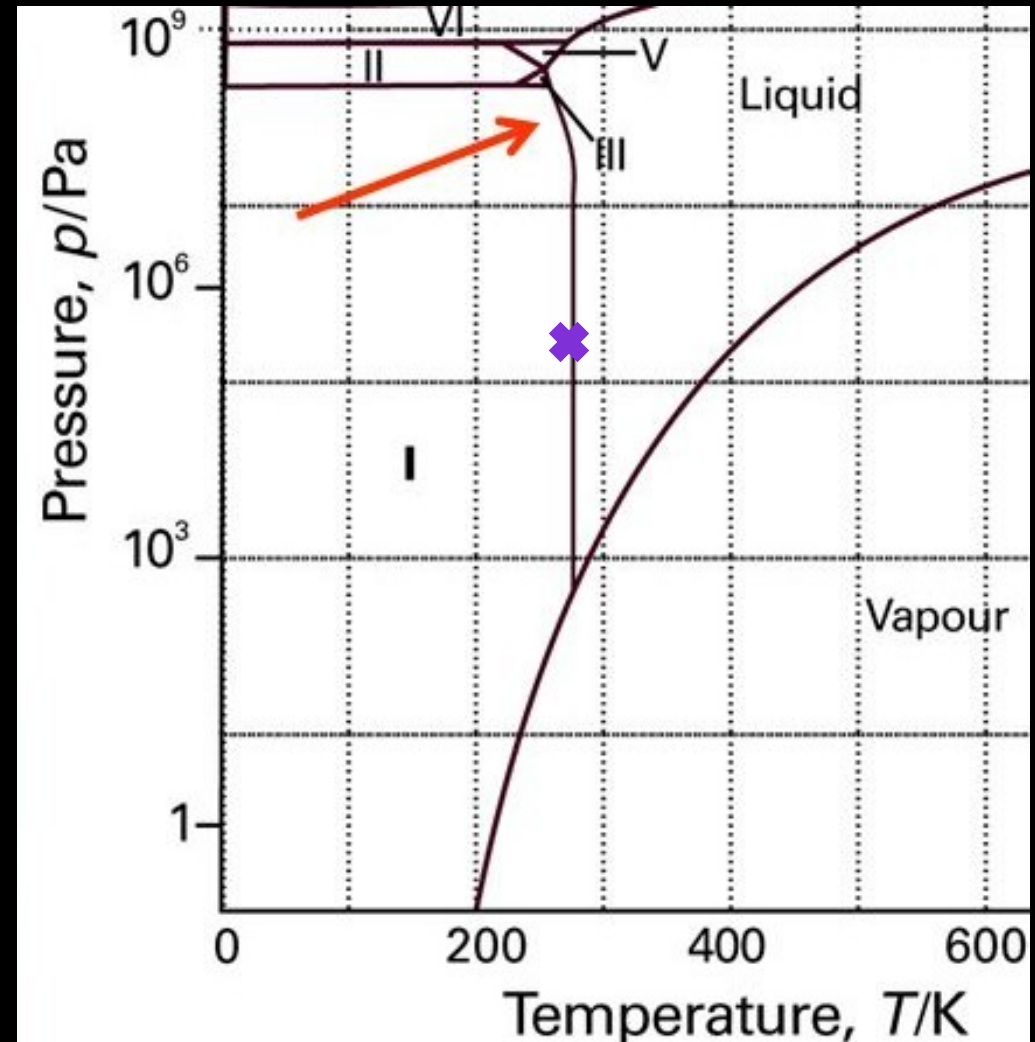
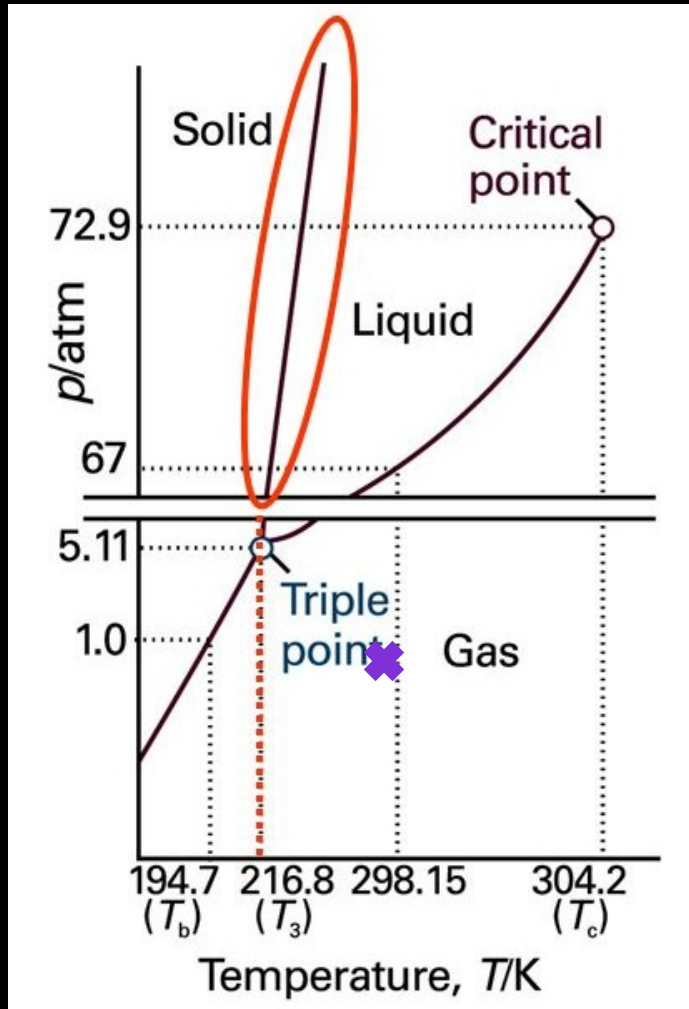
4.1.2.1. K pojmu VAR: Porovnání T_B pro 4 kapaliny



4.2.1.2 Závislost T_f na p

CO_2

H_2O



Standardní tlak a pokojová teplota

4.2.1.2 Závislost T_f na p pro CO_2

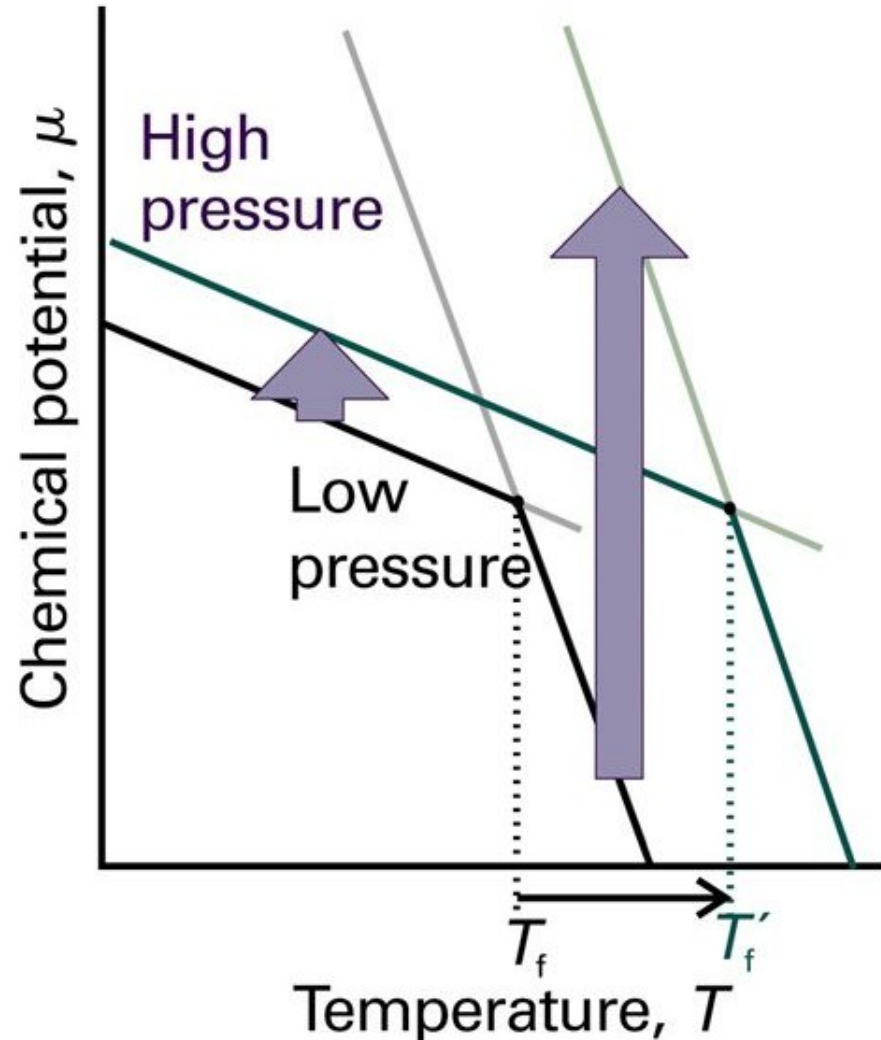
Pressure dependence
of the chemical potential

$$\left(\frac{\partial \mathbf{G}_m}{\partial \mathbf{P}}\right)_T = \left(\frac{\partial \mu}{\partial \mathbf{P}}\right)_T = \mathbf{V}_m$$

$$d\mu = \mathbf{V}_m d\mathbf{P}$$

Substances for which

$$V_m(s) < V_m(l)$$



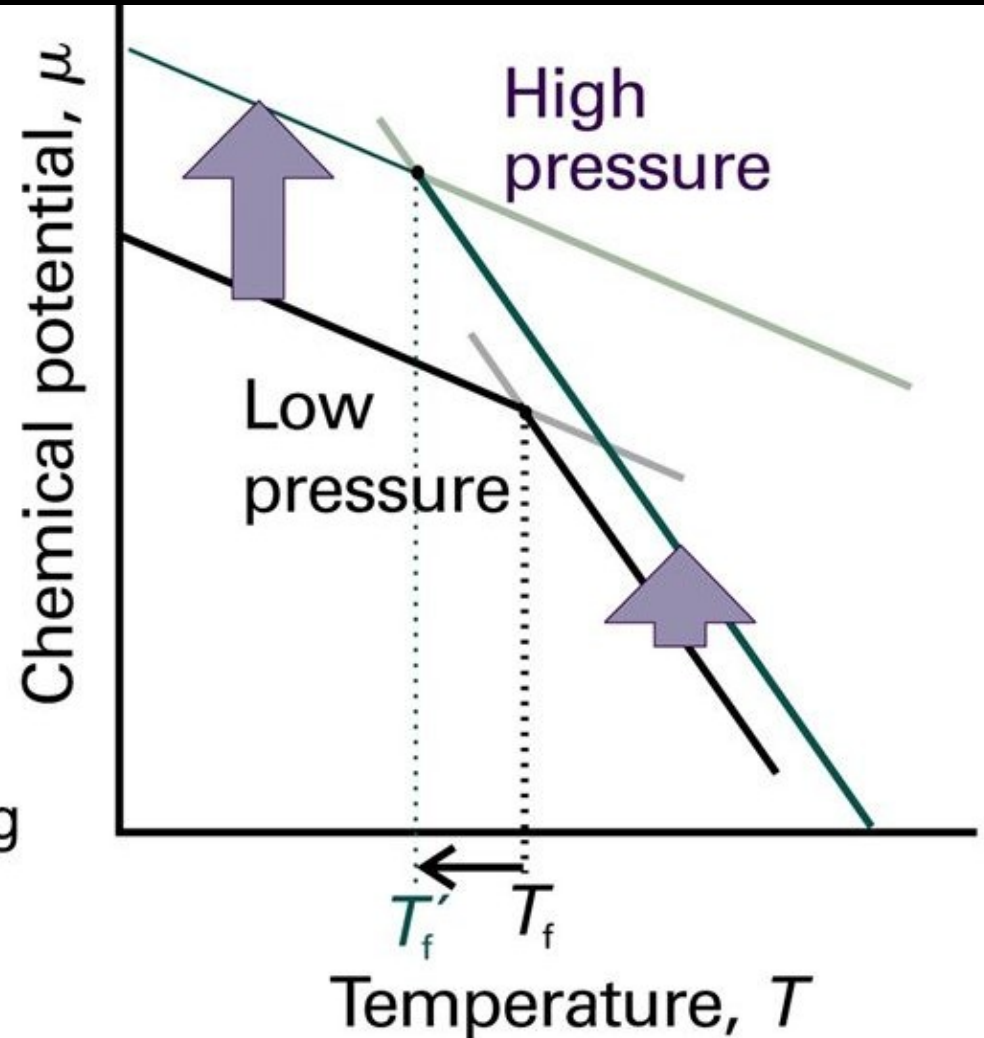
4.2.1.2 Závislost T_f na p pro H_2O

Pressure dependence
of the chemical potential

Substances for which

$$V_m(s) > V_m(l)$$

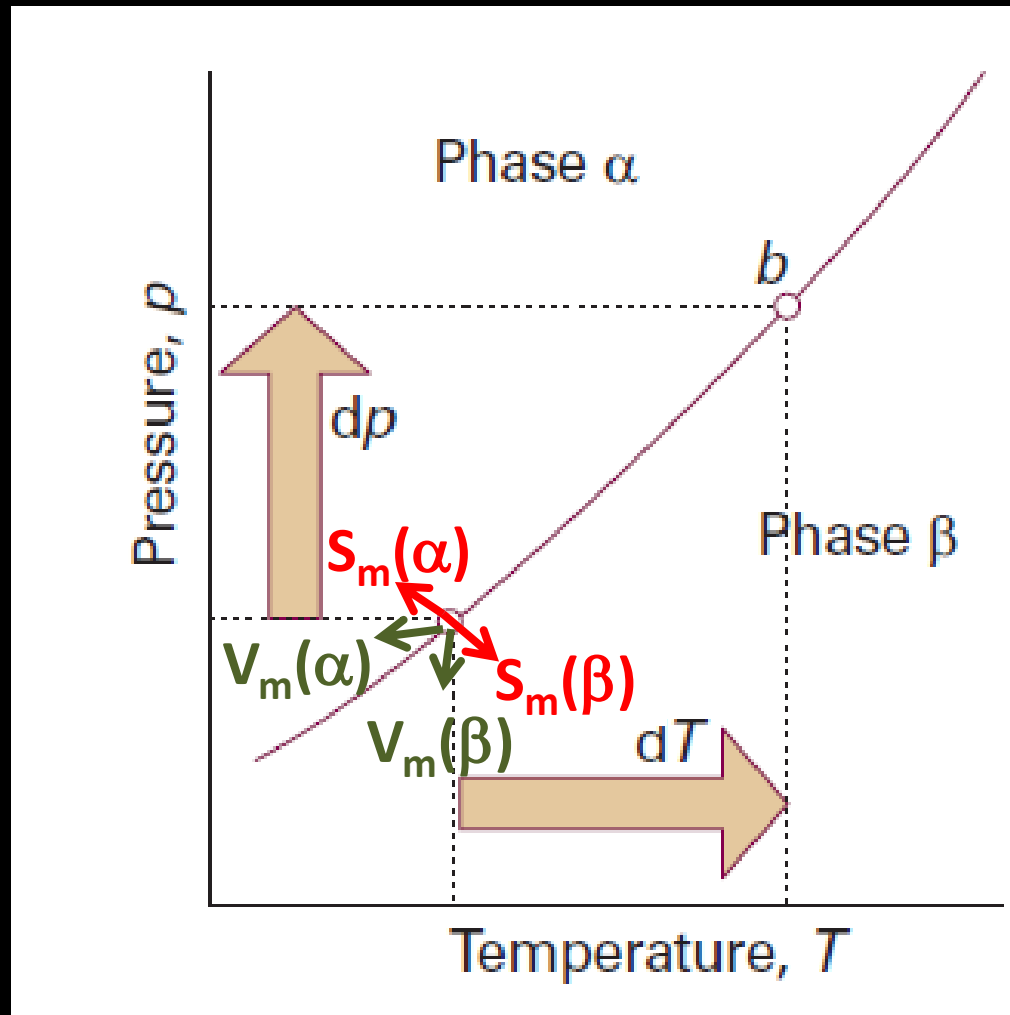
e.g., water,
which expands upon freezing



4.2.2.1 Clapeyronova rovnice

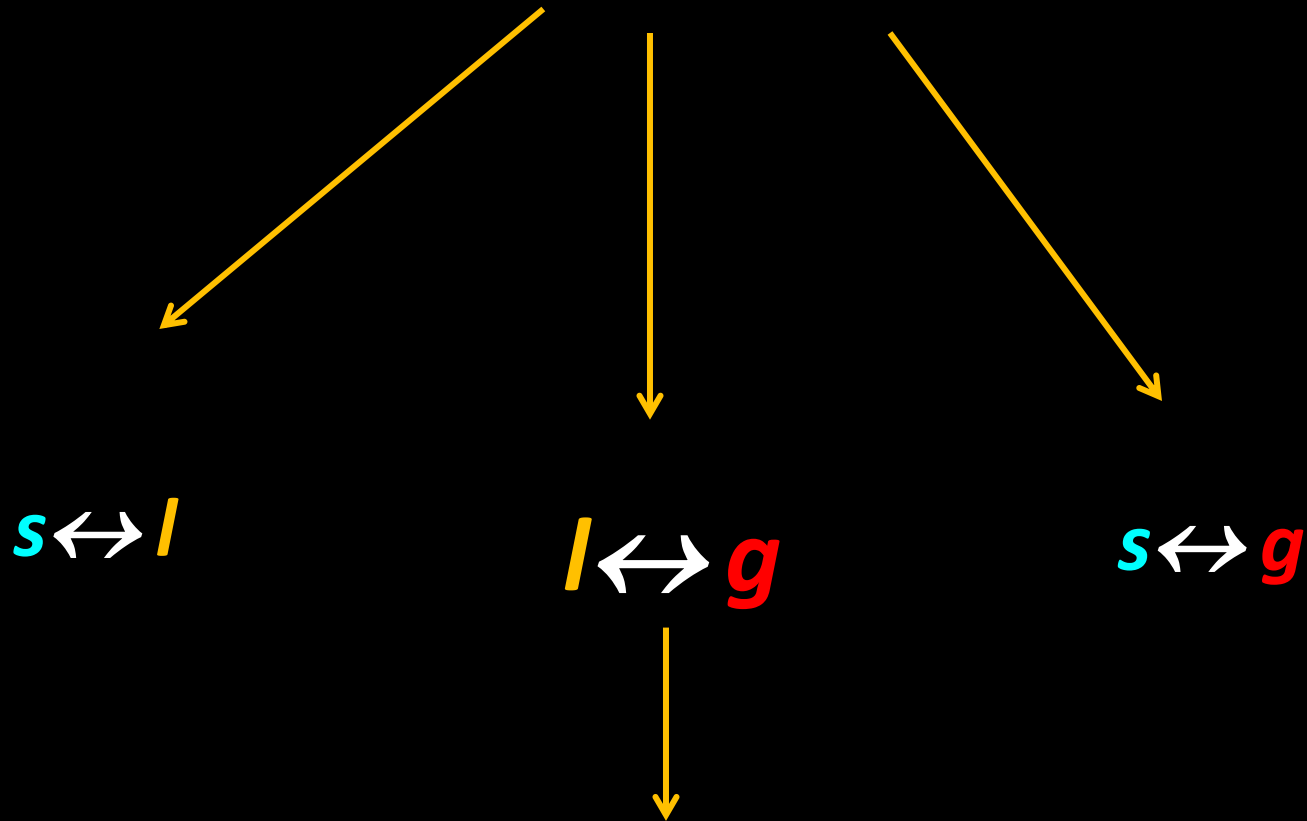
= obecná rovnice pro směrnice křivek ve fázovém diagramu

Obrázek, který je východiskem k jejímu odvození:



4.2.2.2 a 4.2.2.3

Rozlišení Clapeyronovy rovnice na různé případy



Clausius-Clapeyronova rovnice